

## PIC

jazsm@iust.ac.ir :

(دریافت مقاله: ۱۲/۷/۱۳۸۷؛ دریافت نسخه نهایی: ۵/۵/۱۳۸۹)

PIC

MPI

PIC

که با استفاده از آنها، شبیه سازی به بهترین شکل انجام پذیرد. به عنوان مثال در زمینه پلاسمایکی از روش‌های متداول در شبیه سازی پلاسمایکی روش "ذره در سلول"<sup>۱</sup> است که به اختصار به آن PIC می‌گویند.

در سال‌های اخیر با توجه به افزایش توان محاسباتی و راه اندازی سیستم‌های خوشه‌ای<sup>۲</sup> و ابر رایانه‌ها<sup>۳</sup> تحول عظیمی در افزایش توان شبیه سازی مسائل فیزیکی به وجود آمد. در این نوع از شبیه سازی‌ها با تقسیم وظایف و یا مراحل اجرای یک الگوریتم بین چند پردازنده، زمان اجرای برنامه تا حد بسیاری کاهش می‌یابد.

در بخش‌های دوم و سوم این مقاله به معرفی کامل روش شبیه سازی PIC پرداخته شده است. در بخش‌های چهارم و

ششمی شبیه سازی یکی از روش‌های متداول برای بررسی و به تصویر کشیدن پدیده‌هایی است که به راحتی در آزمایشگاه‌ها قابل مشاهده و یا آزمایش نبوده و یا اینکه مستلزم صرف وقت و هزینه‌های فراوان است. در این حوزه با ساده سازی الگوی مسئله همواره تلاش بر آن بوده تا با بهینه سازی الگوریتم مسئله، بیشینه اطلاعات مورد نیاز در کمترین زمان اجرای برنامه مورد پردازش قرار گیرد. با این حال در برخی مسائل ساده سازی و بهینه سازی الگوریتم برنامه برای کاهش زمان اجرای برنامه کارآمد نبوده به طوری که گاهی با الگوریتم‌هایی مواجه می‌شویم که برای اجرای آنها زمان زیادی مورد نیاز است. ایده استفاده از پردازنده‌های موازی و موازی سازی الگوریتم برنامه‌ها از جمله گام‌های مؤثری است که کاهش زمان اجرای برنامه‌ها را سبب شده است. آنچه در دهه‌های اخیر مورد توجه قرار گرفته است، ابداع و به کارگرفتن روش‌هایی است

۱. Particle in cell

۲. Cluster Systems

۳. Supercomputers

مرحله از روش ذره در سلول، شامل شتاب گرفتن و حرکت ذرات است. این مرحله شامل محاسبه موقعیت‌ها و سرعت‌های ذرات پس از شتاب گرفتن در یک قدم زمانی است. مرحله دوم، یکی از مراحل مهم در چرخه<sup>۱</sup> محاسباتی مورد نظر می‌باشد، که شامل محاسبه چگالی‌های بار و جریان، با به کاربردن بار هر ذره و موقعیت‌های جاری هر ذره، بر روی نقاط شبکه است. مرحله سوم حل معادلات میدان برای یافتن میدان‌های الکتریکی و مغناطیسی، روی نقاط شبکه است. در نهایت مرحله چهارم، محاسبه<sup>۲</sup> نیروی وارد بر هر ذره است که از میدان الکتریکی محاسبه شده بر روی نقاط شبکه نزدیک هر ذره به دست خواهد آمد. مراحل دوم و چهارم به ترتیب مراحل پخش<sup>۱</sup> و تجمع<sup>۲</sup> نامیده می‌شوند. در مرحله پخش اطلاعات از ذرات بر روی شبکه پخش خواهد شد و در مرحله تجمع اطلاعات از روی نقاط شبکه به ذرات منتقل می‌شود. در این روش شکل مؤثر ذرات، به صورت یکتابع مثلثی در نظر گرفته می‌شود.

نایپایداری دو جریانی یکی از مسائل معروف در فیزیک پلاسما است. در این پدیده یکی از نایپایداری‌های متداول در پلاسما مورد بررسی واقع می‌شود. در این مسئله محیط پلاسما غیرمغناطیسی و یک بعدی است و تغییرات در راستای محورهای در نظر گرفته شده است. همچنین این محیط شامل N الکترون و N یون با بار واحد می‌باشد. با توجه به سنگینی یون‌ها در مقایسه با الکترون‌ها در فواصل زمانی کوتاه، می‌توان یون‌ها را به عنوان یک پس زمینه ساکن در نظر گرفت و تنها حرکت الکترون‌ها را لحاظ نمود. تابع توزیع اولیه الکترون‌ها، شامل دو پرتو ماکسولی است، که با سرعت متوسط  $v_b$  و سرعت پخش گرمایی  $v_{th}$  در خلاف جهت هم متشر می‌شوند. تابع توزیع اولیه الکترون‌ها با استفاده از رابطه زیر تعریف می‌شود<sup>[۷]</sup>:

پنجم، شبیه سازی نایپایداری دو جریانی و مراحل شبیه سازی مورد بررسی قرار گرفته است. و در بخش ششم روند موازی سازی برنامه معرفی شده است و در نهایت در بخش آخر این مقاله نتایج حاصل از شبیه سازی سری و شبیه سازی موازی که با استفاده از سیستم پردازشگرهای موازی، آزمایشگاه پردازش فوق سریع دانشکده فیزیک دانشگاه علم و صنعت ایران به انجام رسیده است، ارائه می‌شود.

شبیه سازی سیستم‌های بس ذرهای از دو دیدگاه قابل تأمل است<sup>[۳]</sup>. در برخی مدل‌ها رفتار ذرهای به واسطه برهم کنش ذرات با یکدیگر مد نظر است حال آنکه در دسته‌ای دیگر رفتار جمعی ذرات از اهمیت برخوردار بوده و جزئیات برهم کنش میان ذرات از اهمیت کمتری برخوردار است. در مسئله‌ای چون پلاسما از آنجا که سیستم مورد مطالعه از تعداد بیشماری ذره باردار تشکیل شده در نظر گرفتن مدل‌های ذرهای نیاز به منابع عظیم محاسباتی دارد و در نتیجه رفتار کلی سیستم در طول مشخصه دیبای مورد توجه قرار می‌گیرد. در یک شبکه فضایی با تعداد ذرات بسیار زیاد در فضای هر سلول که شامل حد فاصل دو نقطه همسایه شبکه است، ذرات تا حدی هویت ذرهای خود را از دست می‌دهند. به طور مشابه ذرات پلاسما نیز هویت فردی خود را در پدیده‌های دسته جمعی که در مقیاس‌های بزرگتر از طول مشخصه دیبای عمل می‌کنند از دست می‌دهند. یکی از مدل‌هایی که در آن رفتار هر ذره متأثر از اثرات دسته جمعی ذرات سیستم می‌باشد را تکنیک ذره در سلول می‌نامند.

چرخه محاسباتی روش ذره در سلول که برای شبیه سازی پلاسما به کاربرده می‌شود شامل ۴ مرحله اساسی است که در هر قدم زمانی تکرار می‌شوند<sup>[۲]</sup>. در این محاسبات دو دسته کمیت مطرح می‌باشند، دسته اول کمیت‌های وابسته به ذرات که با اندیس  $\alpha$  مشخص می‌شوند و دسته دوم کمیت‌های وابسته به شبکه که با اندیس  $\beta$  مشخص می‌شوند. اولین

<sup>۱</sup>. Scatter

<sup>۲</sup>. Gather

$X_j = j\Delta x$  شناخته می‌شود. اولین مرحله شبیه سازی شامل تعیین موقعیت‌ها و سرعت‌های اولیه ذرات است. برای تعیین موقعیت‌های اولیه ذرات، ازتابع تولید اعداد تصادفی که اعدادی را در محدوده  $L \leq x \leq 0$  تولید می‌نماید، استفاده می‌شود. و برای تعیین سرعت‌های اولیه ذرات از روش قبول/رد<sup>۱</sup> استفاده شده است، چرا که این روش با استفاده ازتابع توزیع ارائه شده سرعت‌های اولیه را مقدار دهی می‌کند.<sup>[۶]</sup> در مرحله بعدی موقعیت ذرات در شبکه مشخص می‌شود، و نزدیکترین نقاط شبکه به هر ذره تعیین و مکان هر ذره در سلول موردنظر تعیین می‌شود. پس از اتمام این مراحل، با استفاده از روش PIC اطلاعات ذرات به شبکه منتقل می‌شود و چگالی‌های بار بر روی نقاط شبکه تعیین می‌شود. در این مرحله با استفاده از تبدیل گسسته فوریه، چگالی‌های بار به دست آمده، به فضای بردار موج منتقل می‌شوند، در این فضا معادله پواسون تبدیل یافته برای محاسبه پتانسیل‌ها بر روی نقاط شبکه حل می‌شود. در مرحله بعد با کارگیری عکس تبدیل گسسته فوریه پتانسیل‌ها به فضای مکان منتقل می‌شوند. به سیله این پتانسیل‌ها که بر روی نقاط شبکه محاسبه شده‌اند، با به کارگیری روش مشتق مرکزی، میدان‌های الکتریکی بر روی نقاط شبکه تعیین می‌شوند. در مرحله بعدی این شبیه سازی، بار دیگر با استفاده از روش PIC اطلاعات از نقاط شبکه به ذرات منتقل می‌شود، تا میدان الکتریکی اعمال شده بر هر ذره در این سیستم تعیین شود. با اتمام این مرحله نیروی وارد بر هر ذره تعیین می‌شود، در مرحله آخر با حل معادلات حرکت برای هر ذره موقعیت‌ها و سرعت‌های جدید به دست می‌آیند و تمام مراحل ذکر شده بار دیگر برای این موقعیت‌ها و سرعت‌های جدید در قدم زمانی بعدی تکرار خواهد شد. شکل ۱ فضای فاز متناظر با یکی از شبیه سازی‌های انجام شده را نمایش می‌دهد. همان‌گونه که انتظار می‌رود، دو پرتوی الکترونی در پس زمینه یونی با گذر زمان تحت تأثیر اندرکنش‌های الکترونی پدیده شاخه‌ای شدن<sup>۲</sup> را تجربه نمودند. حفره‌های ایجاد شده، بیانگر

$$f(x, v) = \frac{n_0}{2} \left( \frac{1}{\sqrt{\pi} v_{th}} \right) \left\{ \exp \left( -\frac{(v - v_b)^2}{2v_{th}^2} \right) + \exp \left( -\frac{(v + v_b)^2}{2v_{th}^2} \right) \right\}, \quad (1)$$

در اینجا  $f(x, v) dx dv$ ، تعداد الکترون‌هایی است که مکان آنها در بازه  $x$  تا  $x+dx$  قرار دارد و سرعت آنها در بازه  $v$  تا  $v+dv$  قرار می‌گیرد و همچنین دمای پرتو،  $T$ ، با رابطه  $v_{th} = \sqrt{k_B T / m_e}$  سرعت گرمایی پرتوها مربوط است. در اینجا  $k_B$  ثابت بولتزمن می‌باشد. معادلات حاکم بر شبیه سازی محیط مورد نظر عبارتند از:<sup>[۷]</sup>

$$\frac{dr_i}{dt} = v_i, \quad (1)$$

$$\frac{dv_i}{dt} = -\frac{e}{m_e} E(r_i), \quad (2)$$

$$E(x) = -\frac{d\Phi(x)}{dx}, \quad (3)$$

$$\frac{d\Phi(x)}{dx} = -\frac{e}{\epsilon_0} [n_0 - n(x)]. \quad (4)$$

در اینجا  $\epsilon_0$ ، ضریب گذردهی خلاء می‌باشد،  $n(x)$  چگالی عددی الکترون‌ها (به عبارتی  $n(x) dx$ ) تعداد الکترون‌ها در بازه  $x$  تا  $x+dx$  است، و  $n_0$  چگالی عددی یکنواخت یون‌ها می‌باشد. شرط مزدی انتخاب شده برای حل مسئله از نوع تناوبی است، به عبارت دیگر<sup>[۷]</sup>:

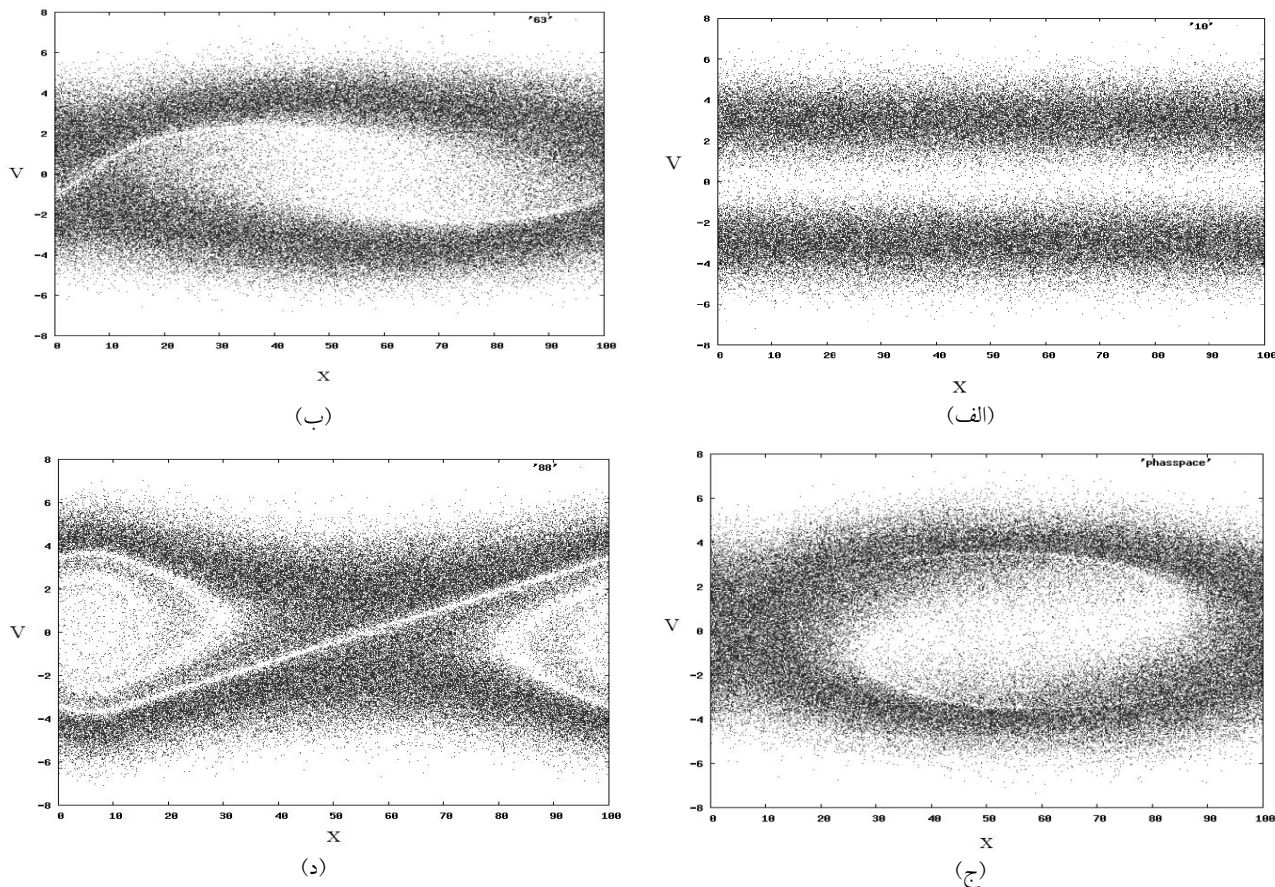
$$\Phi(x) = \Phi(x+L), \quad (5)$$

که در آن  $L$  طول سیستم تحت بررسی ماست.

شبیه سازی انجام شده یک بعدی و در تقریب الکتروستاتیک است. در این قسمت به ذکر مراحل شبیه سازی می‌پردازیم. در ابتدا محدوده شبیه سازی را شبکه بنده می‌کنیم، طول سیستم مورد نظر برابر  $L$  انتخاب شده است. محدوده انتخاب شده شبکه شامل نقطه شبکه خواهد بود، که فاصله میان هر دو نقطه شبکه از رابطه  $\frac{L}{J} = \Delta x$  تبعیت می‌کند. شمارنده نقاط شبکه  $J$  می‌باشد به‌طوری که،  $1 \leq j \leq J$ . هر نقطه شبکه با مختصات

۱. Acceptance/Rejection

۲. Branching



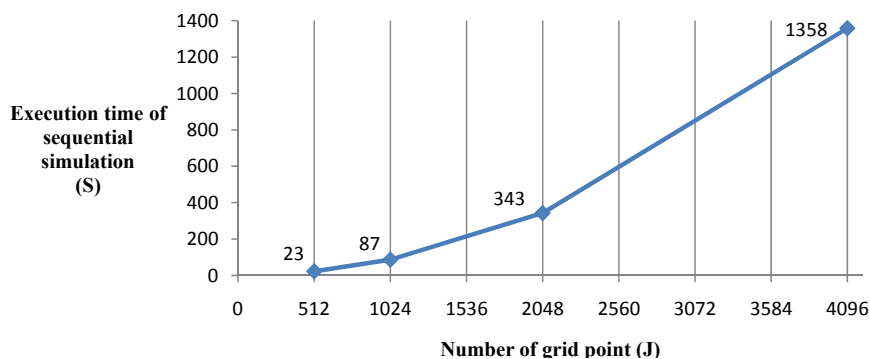
شکل ۱. نمونه‌ای از فضای فاز شبیه سازی شده پدیده ناپایداری دو چرخانی برای دو پرتو الکترونی در محیط پلاسمای (الف) در زمان  $t=10\text{ s}$ ، (ب) در زمان  $t=53\text{ s}$ ، (ج) در زمان  $t=88\text{ s}$ ، (د) در زمان  $t=105\text{ s}$ .

برنامه میان پردازنده‌ها این الگوریتم به شکل موازی بازنویسی می‌شود. افزایش زمان در بخش محاسبه تبدیلات گستته فوریه با افزایش تعداد نقاط شبکه،  $J$ ، متناظر می‌باشد. نمودار زمان اجرای برنامه بر حسب افزایش تعداد نقاط شبکه در شکل ۲ ترسیم شده است. لازم به ذکر است که به دلیل استفاده از تبدیل گستته فوریه در این شبیه سازی تعداد نقاط شبکه می‌بایست از مرتبه  $J^n$  باشد که در آن داریم  $\dots, 2, 1, 0, n = 0$ .

در موازی سازی برنامه سری، تبدیل گستته فوریه بین پردازنده‌ها شکسته می‌شود تا هر کدام از آنها به صورت همزمان به محاسبه بخش مربوط به خود بپردازد. ابتدا داده‌های مورد نیاز برای محاسبه سری‌های تبدیل گستته فوریه از سرور<sup>۱</sup> به پردازنده‌های مورد نظر ارسال خواهد شد و پس از انجام

نقاطی است که در آنها امکان حضور الکترون وجود ندارد. لازم به ذکر است که در محل حفره‌ها، پتانسیل به حداقل مقدار خود می‌نماید و برای الکترون‌ها به شکل چاه پتانسیل ظاهر می‌شود که در آن امکان حضور الکترون‌ها وجود ندارد.

شبیه سازی انجام شده، که در بالا به معرفی آن پرداخته شد، از لحاظ زمانی مورد مطالعه و بررسی قرار گرفت. دو قانون استاندارد برای بررسی زمانی یک برنامه سری وجود دارد: امدال (Amdahl) و گوستافسون - بارسیس (Gustafson-Barsis) [۸]. با استفاده از این دو قانون، قابلیت شبیه سازی سری برای موازی سازی مورد بررسی قرار گرفته است. بررسی‌های زمانی حاکی از آن بود که الگوریتم برنامه در بخش محاسبه تبدیلات فوریه بسیار زمان گیر است، بنابراین با تقسیم وظایف این قسمت از الگوریتم



شکل ۲. افزایش زمان اجرای برنامه سری با افزایش تعداد نقاط شبکه.

جدول ۱. بررسی زمانی شبیه سازی سری.

تعداد ذرات	طول سیستم	تعداد نقاط شبکه	قدم زمانی	حداکثر زمان اجرا	زمان قسمتی از برنامه سری برنامه	زمان قسمتی از برنامه که موآزی خواهد شد	زمان کل اجرای برنامه
$N = 50000$	$L = 100$	$J = 512$	$dt = . / 1s$	$T_{max} = 20s$	$\sigma = 15s$	$\phi = 8s$	$T = 23s$
$N = 50000$	$L = 100$	$J = 1024$	$dt = . / 1s$	$T_{max} = 20s$	$\sigma = 37s$	$\phi = 50s$	$T = 87s$
$N = 50000$	$L = 100$	$J = 2048$	$dt = . / 1s$	$T_{max} = 20s$	$\sigma = 146s$	$\phi = 195s$	$T = 341s$
$N = 50000$	$L = 100$	$J = 4096$	$dt = 0 / 1s$	$T_{max} = 20s$	$\sigma = 563s$	$\phi = 789s$	$T = 1352s$

برنامه هدایت می‌شوند. برای ارسال و دریافت داده بین پردازنده‌ها از توابع Blocking استاندارد MPI استفاده شده. برای ارسال داده از ( $MPI\_Send()$  و برای دریافت داده از ( $MPI\_Recv()$  استفاده شده است.

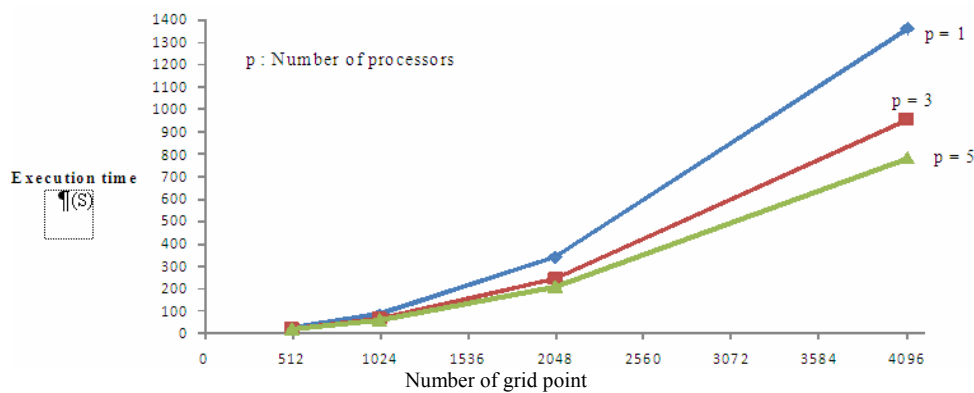
سیستم خوشه‌ای موجود در دانشکده فیزیک، دانشگاه علم و صنعت ایران، از هشت گره (node) تشکیل شده است، و دارای پردازنده‌هایی از نوع چهار هسته‌ای (Quad) Q6600 با سرعت ۴۶۶ گیگاهرتز (Clock speed) و RAM سیستم‌ها بین ۲ تا ۴ گیگابایت است. روی هم رفته امکان استفاده از ۳۲ هسته محاسباتی در این سیستم امکان پذیر است. ارتباط این گره‌های محاسباتی از طریق سوئیچ Gigabit برقرار است. به دلیل محدودیت در انتخاب تعداد نقاط شبکه ( $J = 2^n$ ) در انتخاب تعداد پردازنده‌ها نیز محدودیت به وجود می‌آید. تقسیم کار میان پردازنده‌ها بدون در نظر گرفتن سرور متناظر

محاسبات مورد نیاز در هر پردازنده، در نهایت داده‌ها جهت انجام ادامه محاسبات به سرور ارسال می‌شود.

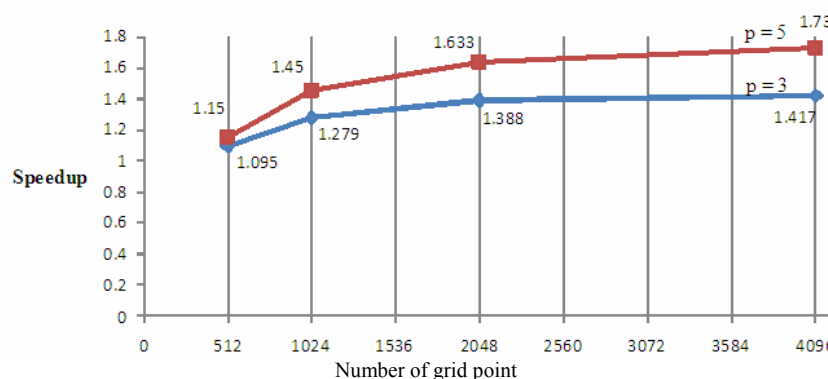
$\sigma$  قسمتی از زمان کل اجرای برنامه است که پس از موآزی کردن به صورت سری باقی خواهد ماند، و  $\phi$  آن قسمت از زمان کل اجرای برنامه است که موآزی خواهد شد. در این شبیه سازی  $\phi$  قسمتی از زمان کل اجرای برنامه است که محاسبات تبدیل گیسته فوریه به خود اختصاص می‌دهد. با استفاده از داده‌های جدول ۱، می‌توان بیشینه تسریع<sup>۱</sup> برنامه موآزی را با استفاده از دو قانون امدا و گوستافسون - بارسیس به دست آورد.

این شبیه سازی در محیط سیستم عامل لینوکس (Linux)، Redhat enterprise 5.0، انجام شده است. برای شبیه سازی موآزی این برنامه از توابع استاندارد MPI استفاده شده است. این توابع به واسطه یک کتابخانه‌ای تحت نام LamMPI در

۱. Speedup



شکل ۳. زمان اجرای برنامه بر حسب تعداد نقاط شبکه. منحنی اجرای برنامه سری است و منحنی های متناظر با  $p=3$  و  $p=5$  مربوط به اجرای برنامه موازی به ترتیب بر روی ۳ و ۵ پردازنده است.



شکل ۴. نمودار تسريع اجرای برنامه موازی بر روی ۳ و ۵ پردازنده، بر حسب تعداد نقاط شبکه.

جدول ۲. مقایسه بیشینه تسريع پیش بینی شده از دو قانون امدال و گوستافسون - بارسیس با تسريع به دست آمده از اجرای برنامه شبیه سازی موازی بر روی ۳ پردازنده.

تعداد ذرات	طول سیستم	تعداد نقاط شبکه	حداکثر زمان اجرا	بیشینه تسريع پیش بینی شده از قانون امدال بر روی ۳ پردازنده	بیشینه تسريع پیش بینی شده از قانون گوستافسون - بارسیس بر روی ۳ پردازنده	تسريع به دست آمده از اجرای شبیه سازی موازی بر روی ۳ پردازنده
$N = 50000$	$L = 100$	$J = 512$	$T_{max} = 20s$	$\psi = 1/301$	$\psi = 1/302$	$\psi = 1/095$
$N = 50000$	$L = 100$	$J = 1024$	$T_{max} = 20s$	$\psi = 1/612$	$\psi = 1/622$	$\psi = 1/279$
$N = 50000$	$L = 100$	$J = 2048$	$T_{max} = 20s$	$\psi = 1/616$	$\psi = 1/618$	$\psi = 1/388$
$N = 50000$	$L = 100$	$J = 4096$	$T_{max} = 20s$	$\psi = 1/637$	$\psi = 1/638$	$\psi = 1/417$

شده است.

تسريع های به دست آمده از اجرای برنامه بر روی سیستم های نامبرده شده، با بیشینه تسريع های به دست آمده از دو قانون امدال و گوستافسون - بارسیس، مقایسه می شوند. نتایج حاصل در جدول های ۲ و ۳ ارائه شده اند.

با تقسیم تعداد نقاط شبکه میان پردازنده ها است، با این توضیح تعداد کل پردازنده از رابطه  $p = 2^n + 1$  تبعیت می کند، در این رابطه  $p$  تعداد پردازنده ها با احتساب سرور است. برنامه مورد نظر بر روی سیستم معرفی شده بر روی ۳ و ۵ پردازنده اجرا شده و نتایج حاصل مطابق نمودارهای شکل های ۳ و ۴ گزارش

جدول ۳. مقایسه بیشینه تسریع پیش بینی شده از دو قانون امدا و گوستافسون - بارسیس با تسریع به دست آمده از اجرای برنامه شبیه سازی موازی بر روی ۵ پردازنده.

تعداد ذرات	طول سیستم	تعداد نقاط شبکه	حداکثر زمان اجرا	بیشینه تسریع پیش بینی شده از قانون امدا بر روی ۵ پردازنده	بیشینه تسریع پیش بینی شده از قانون گوستافسون - بارسیس بر روی ۵ پردازنده	تسريع به دست آمده از اجرای شبیه سازی موازی بر روی ۵ پردازنده
$N = 50000$	$L = 100$	$J = 512$	$T_{max} = 20s$	$\psi = 1/385$	$\psi = 1/383$	$\psi = 1/15$
$N = 50000$	$L = 100$	$J = 1024$	$T_{max} = 20s$	$\psi = 1/851$	$\psi = 1/852$	$\psi = 1/45$
$N = 50000$	$L = 100$	$J = 2048$	$T_{max} = 20s$	$\psi = 1/843$	$\psi = 1/844$	$\psi = 1/633$
$N = 50000$	$L = 100$	$J = 4096$	$T_{max} = 20s$	$\psi = 1/875$	$\psi = 1/876$	$\psi = 1/73$

پردازنده و زمان اجرای شبیه سازی سری کمتر است. نمودار ۵ تسریع حاصل از اجرای شبیه سازی موازی بر روی ۳ و ۵ پردازنده را نشان می‌دهد. تسریع‌های به دست آمده از زمان‌های حاصل از اجرای شبیه سازی موازی بر روی ۳ و ۵ پردازنده با تسریع‌های حاصل از دو قانون امدا و گوستافسون - بارسیس در جدول‌های ۲ و ۳ مورد بررسی و مقایسه قرار گرفته است. نتایج ارائه شده در این جدول‌ها حاکی از آن است که موازی سازی انجام شده با قوانین نامبرده شده مطابقت دارد و بنا بر این شبیه سازی موازی انجام شده برای مسئله "ناپایداری دو جریانی" در پلاسمای بر روی سیستم خوش‌های دانشکده فیزیک دانشگاه علم و صنعت ایران، دارای عملکرد قابل قبولی بوده است. این شبیه سازی قابلیت ارتقاء به ۲ و ۳ بعد و از حالت الکتروستاتیک به الکترومغناطیس را دارا است. می‌توان با به کاربردن روش‌های محاسباتی کارآمدتر برنامه شبیه سازی معرفی شده را بهتر و با کارآیی بالاتری نیز موازی نمود. امید است در آینده نه چندان دور به این اهداف نیز دست یابیم.

نمودار ۳، حاوی اطلاعاتی از زمان اجرای برنامه بر حسب تعداد نقاط شبکه است. مطابق اطلاعات مندرج در این نمودار زمان اجرای برنامه با افزایش تعداد نقاط شبکه افزایش می‌یابد. افزایش تعداد نقاط شبکه باعث افزایش محاسبات در تبدیل گستره فوریه می‌شود و در نتیجه این امر سبب افزایش زمان اجرای برنامه خواهد شد. برای اثبات این مطلب، برنامه سری از لحاظ زمانی مورد بررسی قرار گرفته است. در بررسی‌ها کسری از زمان کل اجرای برنامه که صرف محاسبات تبدیل گستره فوریه شده است، بر حسب تغییر تعداد نقاط شبکه اندازه‌گیری می‌شود. نتایج حاصل از اندازه‌گیری‌های انجام شده در جدول ۱ ارائه شده است. در نمودار ۴ زمان اجرای شبیه سازی سری با زمان اجرای شبیه سازی موازی بر روی ۳ و ۵ پردازنده مقایسه شده است. مطابق انتظار زمان اجرای شبیه سازی موازی بر روی ۳ پردازنده از زمان اجرای شبیه سازی سری، و همچنین زمان اجرای شبیه سازی موازی بر روی ۵ پردازنده از زمان اجرای آن بر روی ۳

- Wesley, Redwood City (1989).
5. G Filipic, *Principles of Particle in Cell Simulation*, University of Ljubljana, Faculty for Mathematic and Physics (2008).
  6. R Fitzpatrick, *Distribution Function*, Texas University, Department of Physics (2006).
  7. R Fitzpatrick, *An example 1D PIC code*, Texas University, Department of Physics (2006).
  8. A Karbowski, *Amdahl's and Gustafson-Barsis Laws Revisited*, Warsaw University of Technology (2008).

1. R W Hockney, and J W Eastwood, *Computer Simulation Using Particle*, Britain by J W Arrowsmith Ltd , Bristol (1988).
2. C K Birdsall and A B Langdon, *Plasma Physics via Computer Simulation*, McGraw-Hill, New York (1985).
3. T Oscarsson, C Dion, and K Ronnmark, *Lecture Notes on Computer Simulation Techniques*, UMEA University, Department of Physics (2007).
4. T Tajima, *Computational Plasma Physics: With Applications to Fusion and Astrophysics*, Addison-